

## Číslicové meracie prístroje neelektrických veličín II. Číslicový snímač teploty

JÁN DANKO

**Súhrn.** V článku je uvedený opis činnosti a výsledky testovania realizovaného číslicového snímača teploty so snímačom — odporovým teplomerom Pt 100. V laboratórnych podmienkach sa využíva na vizuálnu signalizáciu a súčasne na zber dát pomocou mikropočítača (PMD 85-2), ktorý údaj o meranej teplote využíva na riadenie modelu výmenníka tepla.

### 2.0. Úvod

Platinové odporové teplomery ploché a keramické Pt 100 u nás vyrábajú ZPA Jinonice, závod Ústí nad Labem [4].

Platinové odporové teplomery ploché — Ptp 100 sú navinuté na doske z tvrdého papiera, spevnené epoxidovým lepidlom a chránené lakovaným papierom a medenou fóliou. Používajú sa pre rozsah teplôt od  $-100^{\circ}\text{C}$  do  $+110^{\circ}\text{C}$ . Pre väčší rozsah meraných teplôt (od  $-200^{\circ}\text{C}$  do  $350^{\circ}\text{C}$ ) platinový drôtik je navinutý bifilárne na sľudovej doštičke, spevnený silikónovým lakom a chránený sľudovým obalom.

Na meranie vyšších teplôt (alebo veľmi nízkych) sa používajú platinové odporové teplomery keramické — Ptk (od  $-200^{\circ}\text{C}$  do  $+600^{\circ}\text{C}$  — typ MT, DMT alebo od  $-200^{\circ}\text{C}$  do  $+800^{\circ}\text{C}$  — typ MV, DMV). Platinové odpory keramické sú tvorené keramickým valčekom s pozdĺžnymi otvormi, v ktorých sú uložené odporové špirály z platinového drôtika (0,35 mm) na jednom konci pevne spojené a na druhom privarené k hrubším vývodným drôtom. Oba konce keramického valčeka sú hermeticky zatavené glazúrou. Podľa počtu odporových špirál v keramickom valčeku môže byť odporový teplomer jednoduchý — typ MT, MV alebo dvojitý — typ DMT, DMV.

Platinové odporové teplomery sú umiestňované do kovových ochranných armatúr (v závislosti od agresivity meraného prostredia).

---

Doc. Ing. Ján Danko, CSc., Katedra automatizácie, Chemickotechnologická fakulta STU, Radlinského 9, 8121 37 Bratislava.

Závislosť hodnoty odporu od zmeny teploty (statická charakteristika) pri odporových teplomeroch je daná vzťahom

$$R_g = R_0(1 + \alpha\vartheta) = R_0 + \Delta R \quad (1)$$

kde  $R_g [\Omega]$  je odpor snímača pri meranej teplote  $\vartheta [^\circ\text{C}]$ ,

$R_0 [\Omega]$  — odpor snímača pri  $\vartheta = 0^\circ\text{C}$ ,

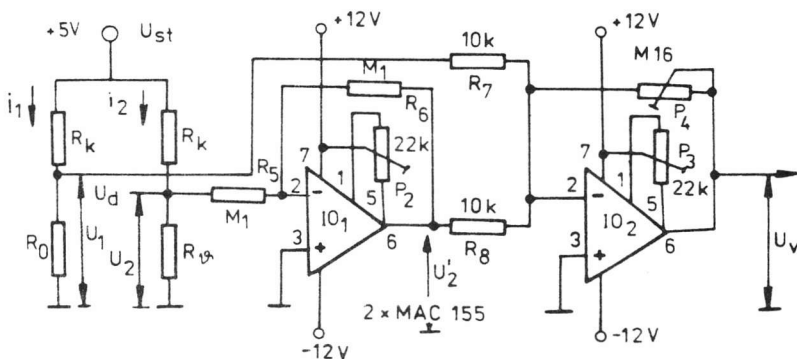
$\alpha [1/\text{°C}]$  — teplotný súčinieľ odporu pre Pt 100  $\alpha = 0,385 \cdot 10^{-2} 1/\text{°C}$ ,

$\Delta R [\Omega]$  — zmena odporu,  $\Delta R = R_0\alpha\vartheta$ .

## 2.1 Analýza činnosti schémy meracieho prevodníka

Číslicový snímač teploty pozostáva z meracieho prevodníka a zosilňovača, vyhodnocovacieho zariadenia a zobrazovacej jednotky [1].

Analyzujeme činnosť prístroja ak vo funkciu meracieho prevodníka (mení výstupný signál snímača — zmenu odporu na zmenu napäťia) použijeme nerovnovážny mostík (obr. 2.1), ktorý je napájaný stabilizovaným napäťom  $U_{st} = 5\text{ V}$ .



Obr. 2.1. Schéma zapojenia meracieho prevodníka a zosilňovača.

Fig. 2.1. Circuit diagram of measuring converter and amplifier.

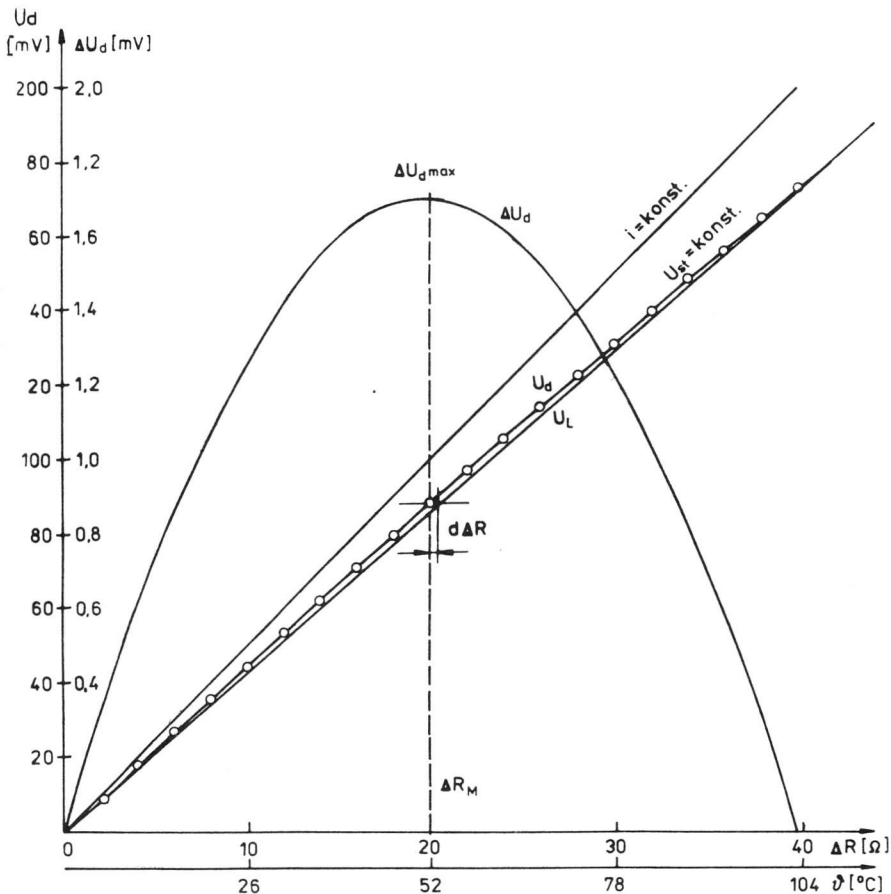
Kedže cez odporový teplomer môže tiecť maximálny prúd  $10\text{ mA}$ , v schéme mostíka sú použité obmedzovacie rezistory  $R_k$ ;  $R_k = 900\Omega$ ,  $R_0 = 100\Omega$ . (Pri uvedených odporoch rezistorov  $R_k$ ,  $R_0$  cez odporový snímač teploty  $R_g = R_0 + \Delta R$  tiecť prúd  $i_2 \approx 5\text{ mA}$ .) Pretože výstupný signál nerovnovážneho mostíka — napätie  $U_d$  je upravované operačnými zosilňovačmi, ktorých vstupný odpor je  $R_i \gg 1$  ( $R_i = 10^7 \div 10^{12}\Omega$ ) pre merací prevodník platia nasledujúce vzťahy

$$i_1 = \frac{U_{st}}{R_0 + R_k}, \quad i_2 = \frac{U_{st}}{R_0 + \Delta R + R_k}, \quad (2)$$

$$U_d = U_2 - U_1 = i_2(R_0 + \Delta R) - i_1 R_0. \quad (3)$$

Úpravou vzťahov (2) a (3) dostaneme výraz (4), ktorý vyjadruje závislosť výstupného napäťia  $U_d$  meracieho prevodníka od zmeny odporu  $\Delta R$  odporového snímača teploty

$$U_d = U_{st} \frac{R_k}{R_k + R_0} \cdot \frac{\Delta R}{R_0 + \Delta R + R_k}. \quad (4)$$



Obr. 2.2. Závislosť výstupného napäťia meracieho prevodníka (v mostíkovom zapojení) od zmeny odporu snímača.

Fig. 2.2. Dependence of the output voltage of the measuring converter (in the bridge configuration) on the resistance change of the sensing unit.

Grafická závislosť vzťahu (4) pre dané hodnoty rezistorov  $R_0$ ,  $R_k$  a napäcia  $U_{st}$  je uvedená na obr. 2.2.

Závislosť  $U_d = f(\Delta R)$  je nelineárna. V meranom rozsahu môžeme ju linearizať pomocou referenčných bodov MPTS (medzinárodnej praktickej teplotnej stupnice). Napr. pre rozsah 0—100 °C môžeme linearizovať pomocou kúpeľa zo zmesi a vody a ľadu a bodu varu vody.

Linearizovanú závislosť  $U_L = f(\Delta R)$  môžeme opísť vzťahom

$$U_L = k \Delta R, \quad (5)$$

kde  $k$  [mV/Ω] je smernica linearizovanej závislosti pre  $\Delta R = 40 \Omega$  a  $U_d = 173,08 \text{ mV}$ ,  $k = 4,327 \text{ mV}/\Omega$ .

(Pre referenčné body platí, že  $U_d = U_L$ .)

Chybu údaja meracieho prevodníka môžeme vypočítať ak do vzťahu (6) dosadíme výrazy (4) a (5)

$$\Delta U = U_d - U_L. \quad (6)$$

Hodnotu  $\Delta R_m$ , pri ktorej  $\Delta U$  je maximálna, vypočítame zo vzťahu

$$\frac{d}{d \Delta R} (\Delta U) = 0. \quad (7)$$

Riešením vzťahu (7) dostaneme rovnicu (8) na výpočet hodnoty  $\Delta R_m$ , keď chyba údaja meracieho prevodníka je maximálna:  $\Delta U = \Delta U_m$

$$\Delta R_m = -(R_0 + R_k) + \sqrt{\frac{U_{st}}{k} R_k}. \quad (8)$$

Napr. pre meraný rozsah teploty 0 ÷ 102,8 °C ( $0 \leq \Delta R \leq 40 \Omega$ ) a pre vyššie uvedené hodnoty odporov rezistorov  $R_0$ ,  $R_k$ ,  $k$ ,  $U_{st}$  je  $\Delta R_m = 19,79 \Omega$ , čo zodpovedá teplote (podľa vzťahu (1))  $\vartheta_m = 51,4^\circ\text{C}$ , keď podľa vzťahu (5) vyhodnocovacie zariadenie udáva 52,4 °C. Maximálna chyba meracieho prevodníka uvedeného na obr. 2.1 je v 50 % meraného rozsahu a predstavuje 1 % z meracieho rozsahu.

Uvedená analýza nezohľadňuje nelinearitu snímača teploty — odporového teplomera v skúmanom rozsahu meraných teplôt, t.j. od 0 do 100 °C. Pri zohľadnení dovolenej maximálnej odchýlky v uvedenom rozsahu údaj číslicového teplomera sa zmení maximálne o  $\pm 0,6^\circ\text{C}$ .

Ak potrebujeme vyššiu presnosť merania musíme použiť inú schému meracieho prevodníka, napr. so zdrojom konštantného prúdu alebo s odporovým teplomerom v spätnej väzbe operačného zosilňovača.

Na ďalšie spracovanie výstupného signálu  $U_d$  meracieho prevodníka je použi-

tý merací zosilňovač (obr. 2.1), ktorý upraví signál  $U_d$  (impedančne a rozsahovo) na signál  $U_v$  [5].

Na vylúčenie vplyvu súhlasného rušivého napäťia merací zosilňovač je vytvorený z dvoch operačných zosilňovačov  $IO_1, IO_2$ . (Súhlasné rušivé napätie pôsobí súčasne na obidve vstupné svorky meracieho zosilňovača s rovnakou amplitúdou a fázou ako dôsledok rozdielu potenciálov zemniacich svoriek meracieho prevodníka a zosilňovača.)

Na invertujúci vstup  $IO_1$  (ktorý pracuje s jednotkovým zosilnením, t.j.  $R_5 = R_6$ ) sa privádza napätie  $U_2$  vrcholu mostíka vzhľadom k zemi. Výstupné napätie  $IO_1 U'_2 = -U_2$  sa na invertovanom vstupe obvodu  $IO_2$  spočítava s napäťím  $U_1$  druhého vrcholu mostíka. Pre výstupné napätie operačného zosilňovača s veľkým zosilnením ( $k > 5 \cdot 10^4$ ) a veľkým vstupným odporom  $R_i$  ( $R_i > 10^7 \Omega$ ) platí

$$\frac{U_2}{R_5} + \frac{U'_2}{R_6} = 0, \quad \text{ak } R_5 = R_6 \quad U'_2 = -U_2, \quad (9)$$

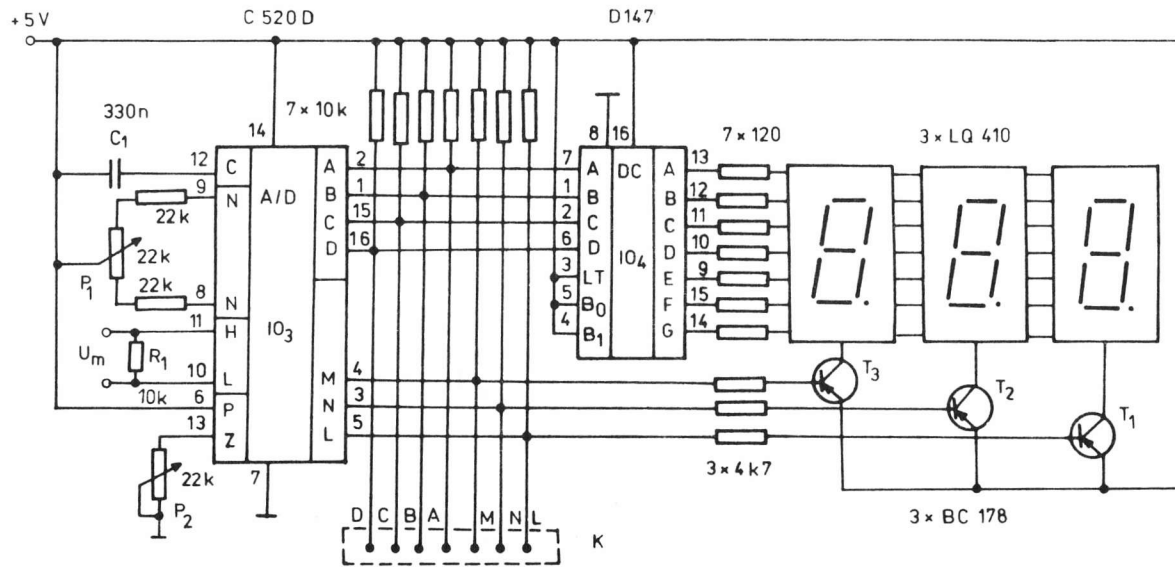
$$-\frac{U_2}{R_8} + \frac{U_1}{R_7} + \frac{U_v}{P_4} = 0, \quad \text{ak } R_7 = R_8 \quad U_v = \frac{P_4}{R_8} (U_2 - U_1) = k U_d, \quad (10)$$

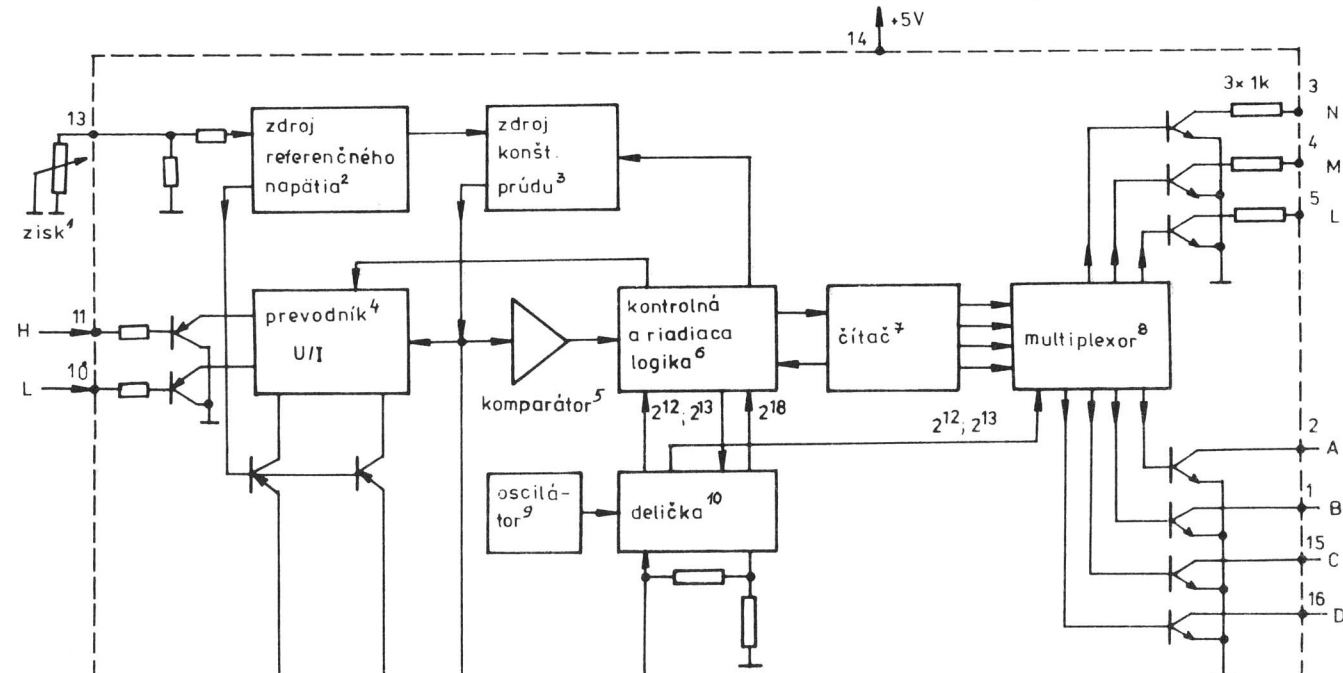
kde  $k$  je prevodový koeficient upravujúci rozsah zmeny  $U_d$  na rozsah zmeny napäťia  $U_v$ , požadovaný vyhodnocovacím zariadením.

## 2.2 Opis činnosti vyhodnocovacieho zariadenia a zobrazovacej jednotky

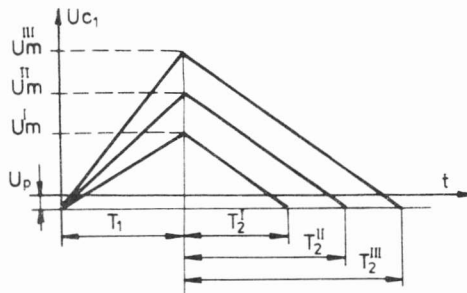
Schéma vyhodnocovacieho zariadenia a zobrazovacej jednotky je uvedená na obr. 2.3. Vyhodnocovacie zariadenie tvorí 10-bitový analógovo-číslicový prevodník C 520 D ( $IO_3$ ), ktorý prevádzka analógový signál  $U_v$  do binárne dekadického kódu (kódu BCD) a pomocou dekódera D 147 ( $IO_4$ ) dekóduje do kódu sedem segmentových zobrazovacích jednotiek [2, 3].

Základným obvodom vyhodnocovacieho zariadenia je analógovo-číslicový prevodník ( $IO_3$ ), ktorý pracuje na princípe dvojitej integrácie. Bloková schéma integrovaného obvodu C 520 D ( $IO_3$ ) je na obr. 2.4. Celý prevod analógového signálu  $U_m$  do číslicového tvaru pozostáva z dvoch časových intervalov (obr. 2.5). Počas prvého intervalu  $T_1$  sa nabíja externý integračný kondenzátor  $C_1$  (pripojený na vývod 12) výstupným prúdom prevodníka napätie—prúd (obr. 2.4). Nabíjací prúd je priamoúmerný vstupnému napätiu  $U_m$  na vstupných svorkách 10, 11. Čas  $T_1$ , počas ktorého je kondenzátor  $C_1$  nabíjaný je konštantný a daný generátorom hodinových impulzov. Napätie na kondenzátore je úmerné meranému napätiu  $U_m$ . Počas druhého časového intervalu  $T_2$  je konden-





zátor  $C_1$  vybíjaný zdrojom konštantného prúdu až do dosiahnutia hodnoty prahového napäťa komparátora, keď komparátor preklopí hodnotu svojho výstupného signálu a cez obvody kontrolnej a riadiacej logiky zablokuje čítač impulzov. Pretože kondenzátor  $C_1$  je vybíjaný konštantným prúdom, čas vybíjania  $T_2$  je úmerný veľkosti vstupného napäťa  $U_m$  a teda aj obsahu čítača.



Obr. 2.5. Časové intervaly prevodu analógového signálu do číslicového tvaru.

Fig. 2.5. Time intervals of the conversion of analogue signal to the digital form.

Trimrom  $P_1$ , ktorý je pripojený k vstupom 8, 9, zmenou symetrie napájania prúdových zdrojov sa nastavuje nula na zobrazovacích jednotkách.

Trimrom  $P_2$ , pripojeným k vývodu 13, meníme pomer odporov v zdroji referenčného napäťa. Zdroj referenčného napäťa riadi zdroj konštantného prúdu, prúdové zdroje prevodníka napätie—prúd a tým aj veľkosť konštantného vybíjacieho prúdu integračného kondenzátora  $C_1$ . Trimrom  $P_2$  nastavujeme pri danej hodnote vstupného napäťa  $U_m$  ( $U_m = U_v$  výstupu meracieho zosilňovača) zodpovedajúcu hodnotu (v číslicovom tvare) na zobrazovacích jednotkách.

Oscilátor generuje kmity s frekvenciou od  $0,2 \div 1,3$  MHz (v závislosti od rozptylu parametrov prvkov oscilátora), ktoré sú privádzané do deliča frekvencie pozostávajúceho z 19 klopných obvodov.

Trimrom  $P_3$ , ktorý je pripojený na vstup 6, zmenou napäťa nastavujeme režim práce prevodníka. Pri napäti 3,2—5 V prevodník pracuje v rýchлом režime merania ( $48 \div 186$  meraní/s). Pri napäti 0  $\div$  0,4 V je nastavený pomalý cyklus merania ( $2 \div 7$  meraní/s). Pri napäti 0,8  $\div$  1,6 V meranie je zastavené a v čítači sa udržuje posledná nameraná hodnota.

Kontrolná a riadiaca logika ovláda činnosť 3 a 1/2 miestneho dekadického synchronného čítača. Pozostáva z klopných obvodov a jeho maximálny načítaný počet impulzov je 1999.

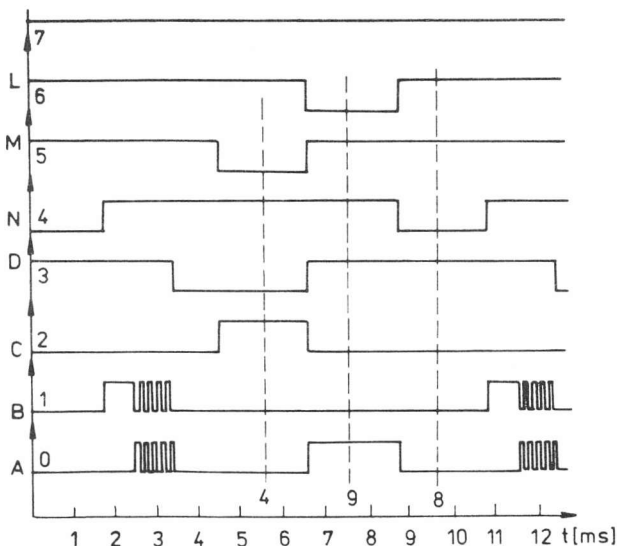
Počas intervalu  $T_1$  (keď integračný kondenzátor  $C_1$  sa nabíja) čítač načítava impulzy zo stavu 000 do 880. V priebehu ďalších 20 impulzov dochádza k prepnutiu integračného kondenzátora  $C_1$  z nabíjacieho do vybíjacieho režimu.

Zápornému rozsahu meraného napäťia od  $-99\text{ mV}$  do  $-1\text{ mV}$  zodpovedá stav čítača od 901 do 999. Záporné znamienko je indikované znakom [ v najvyšom rade (v dekáde, ktorá zobrazuje číslice  $\times 10^2$ ). Prekročenie max. záporného rozsahu sa indikuje na zobrazovacích jednotkách znakom ] vo všetkých troch dekádach.

Prechodom stavu čítača z 999 na 1000 na zobrazovacej jednotke zhasne záporné znamienko. Kladnému meranému napätiu od 0 do  $999\text{ mV}$  zodpovedá stav čítača od 1000 do 1999. Dosiahnutie stavu čítača 2000 sa indikuje na zobrazovacích jednotkách ako prekročenie kladného rozsahu znakom ] vo všetkých troch dekádach.

Stav jednotlivých dekád čítača cez multiplexor sa postupne privádzza na výstupy A, B, C, D (svorky 2, 1, 15, 16) prevodníka. Multiplexor je riadený frekvenčným signálom, ktorý sa odoberá z 12. alebo 13. klopného obvodu. Pri rýchлом meraní multiplexor vydáva len jeden výstupný údaj počas pracovnej periódy, pri pomalom meraní výstupný údaj počas jednej pracovnej periódy sa opakuje 24-krát.

Multiplexor spína výstupné tranzistory (obr. 2.4) s otvoreným kolektorom tak, že na výstupy A, B, C, D sa postupne privádzza informácia v BCD kóde o počte načítaných impulzov v klopňových obvodoch čítača najprv pre najvyšší rád  $-10^2$  (súčasne je otvorený tranzistor s výstupom M), potom pre najnižší rád  $-10^0$  (tranzistor s výstupom L je otvorený) a nakoniec pre stredný rád  $-10^1$  (tranzistor s výstupom N je otvorený).

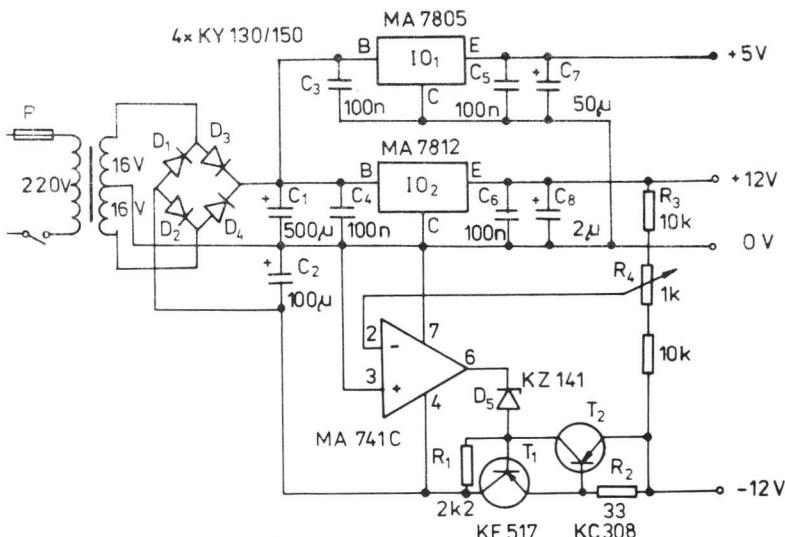


Obr. 2.6. Časový diagram činnosti integrovaného obvodu C 520 D.

Fig. 2.6. Time interval of the integrated circuit (C 520 D) action.

Celý cyklus činnosti A/D prevodníka ( $\text{IO}_3$ ) v rýchлом režime je znázornený na časových závislostiach na obr. 2.6. Aktívny stav — vydanie výstupnej informácie o stave klopnych obvodov príslušnej dekády čítača nastáva ak príslušný tranzistor výstupov M, N, L je otvorený, t.j. výstupný signál tranzistora má hodnotu odpovedajúcu log 0. Na časových závislostiach na obr. 2.6 čítame na výstupe A/D prevodníka desiatkové číslo 489.

Táto informácia je privádzaná na vstup integrovaného obvodu  $\text{IO}_4$  (D 147) — dekódera z kódu BCD na kód sedemsegmentových zobrazovacích jednotiek so spoločnou anódou (napr. LQ 410) a súčasne na konektor K, ktorý umožňuje komunikáciu s mikropočítačom (zber a spracovanie dát), v našom prípade to bol PMD 85-2.



Obr. 2.7. Schéma zapojenia zdroja napájajúcich napäťi.  
Fig. 2.7. Circuit diagram of the source of supply voltage.

Číslicový snímač teploty je napájaný z napájacieho zdroja, schéma ktorého je uvedená na obr. 2.7. Zdroj zabezpečuje napájanie vyhodnocovacieho zariadenia a meracieho prevodníka stabilizovaným napäťom +5 V s prúdovým odberom do 200 mA z integrovaného stabilizátora napäťa MA 7805 ( $\text{IO}_1$ ). Merací zosilňovač je napájaný napäťom  $\pm 12$  V s prúdovým odberom do 20 mA, ktoré sa odoberá z integrovaného stabilizátora MA 7812 a integrovaného obvodu MAA 741, ktorý riadi tranzistor  $T_1$ , pracujúci vo funkcií prúdového zosilňovača. Napätie -12 V sa nastavuje trimrom  $R_4$ . Tranzistor  $T_2$  s odporom  $R_2$  tvoria prúdovú ochranu (nastavenú na ca 20 mA).

## Záver

Realizovaný číslicový snímač teploty pracuje spoľahlivo. V laboratórnych podmienkach sa využíva na vizuálnu signalizáciu a súčasne na zber dát pomocou mikropočítača (PMD 85-2), ktorý údaj o meranej teplote využíva na riadenie modelu výmeníka tepla, opis ktorého bude uvedený v ďalšom článku.

## Literatúra

1. KAJNAR, V.: Číslicový teplomer, ARA, 1987, č. 8.
2. ANDRLÍK, F.: Číslicové panelové měřidlo. ARA, 1984, č. 12.
3. KOSORINSKÝ, J.: Číslicový multimeter DMM 520. ARA, 1987, č. 1.
4. Katalóg ZPA, Platinové měřicí odpory.
5. DANKO, J.: Číslicový snímač teploty. In: Zb. 7. celoštátej konferencie ASR TP v chemickom a potravinárskom priemysle, 1989.

Do redakcie došlo: 11. 7. 1991

## Цифровые измерительные приборы неэлектрических величин II. Цифровой датчик температуры

### Резюме

В статьи приведены принцип действия и результаты испытания реализованного цифрового измерителя температуры с датчиком — термометром сопротивления Pt 100. В лабораторных условиях применяется для визуальной сигнализации и одновременно для сбора данных с помощью микро-ЭВМ (PMD 85-2), которая использует данные об измеренной температуре для управления модели теплообменника.

## Digital measuring instruments of non-electrical constants measurements II. Digital temperature sensing unit

### Summary

The paper deals with function description and the analysis of measurement results of a digital temperature meter with sensor — resistance thermometer Pt 100. Under laboratory conditions, it is used for visual signalling and simultaneously for data collection by help of microcomputer, which uses datum on measured temperature for heat exchanger model control.